

有限长环形管道中的磁流体流动*

中国科学院力学研究所 荣 陞

在有限长环形管道中,粘性导电的流体在轴向磁场和径向电场的作用下,不仅产生环向流动(主流),而且由于轴向边界的影响还会产生子午面内的流动,称为二次流动。在哈特曼数很大,雷诺数较小或长管近似的情况下,二次流可以忽略^[1-3,6,7]。Ганницкий^[4,5]等对二次流进行了计算和讨论。从量纲分析理论可清楚知道,除几何参数外,只能有两个独立的无量纲参数。因此,他们采用 α, β, γ 三个独立参数进行计算,在物理上是不合理的,其中 γ 应等于 β/α 。

环管中磁流体力学流动是非线性问题。本文用数值方法计算非定常起动过程,计算到各物理量对时间稳定后,求得其定常流动的解,并讨论二次流对主流速度的影响。图 1 为流动结构示意图。环管的截面为矩形,在 $r = r_1$ 及 r_2 处有内、外电极,电极间的总电流为 I (不妨假定由内电极流向外电极),轴向边界为绝缘壁面,外加轴向均匀磁场 B_0 。假定流体不可压缩,导电率 σ 和粘性系数 η 是常数,小磁雷诺数,忽略霍尔效应。采用 MKSM 单位制,流体和电磁场满足如下方程:

运动方程

$$\rho \frac{d\mathbf{V}}{dt} = -\nabla P + \eta \Delta \mathbf{V} + \mathbf{j} \times \mathbf{B} \quad (1)$$

$$\text{连续方程 } \nabla \cdot \mathbf{V} = 0 \quad (2)$$

$$\text{法拉第定律 } \nabla \times \mathbf{E} = 0 \quad (3)$$

欧姆定律

$$\mathbf{j} = \sigma(\mathbf{E} + \mathbf{V} \times \mathbf{B}) \quad (4)$$

电流连续方程

$$\nabla \cdot \mathbf{j} = 0 \quad (5)$$

其中 $\mathbf{V}, P, \rho, \mathbf{j}, \mathbf{B}, \mathbf{E}$ 分别表示速度矢量,压力,密度,电流密度矢量,磁感应强度矢量,电场强度矢量。采用柱面坐标系 (r, θ, z) , \mathbf{V} 和 \mathbf{j} 的分量分别为 u, v, w 和 j_r, j_θ, j_z 。在小磁雷诺数假定下,可以忽略感应磁场,用外加轴向磁场 B_0 代替 \mathbf{B} ,同时在法拉第定律(3)中忽略 $\partial \mathbf{B} / \partial t$ 项。按连续方程(2)和电流连续方程(5),引进二次流流函数 $\tilde{\phi}$ 与 j_r, j_z 的流函数 $\tilde{\psi}$ 及二次流涡量 $\tilde{\omega}$,它们分别满足以下关系:

$$u = \frac{1}{r} \frac{\partial \tilde{\phi}}{\partial z}, \quad w = -\frac{1}{r} \frac{\partial \tilde{\phi}}{\partial r}, \quad \tilde{\omega} = \frac{\partial u}{\partial z} - \frac{\partial w}{\partial r}$$

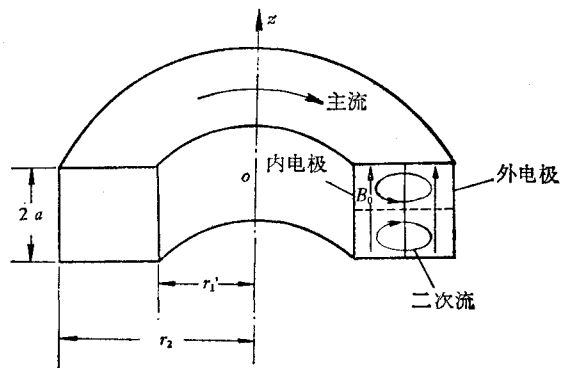


图 1 流动结构示意图

* 1978 年 3 月 1 日收到。

$$j_r = \frac{1}{r} \frac{\partial \tilde{\phi}}{\partial z}, \quad j_z = -\frac{1}{r} \frac{\partial \tilde{\phi}}{\partial r}$$

采用以下无量纲变量及参数:

$$g = v / \left(\frac{I}{4\pi r_1 \sqrt{\sigma\eta}} \right), \quad \phi = \tilde{\phi} / \left(r_1^2 \frac{I}{4\pi r_1 \sqrt{\sigma\eta}} \right), \quad \omega = \frac{4\pi r_1^2 \sqrt{\sigma\eta} \tilde{\omega}}{I}$$

$$\psi = \frac{4\pi \tilde{\psi}}{I}, \quad T = \frac{\eta t}{\rho r_1^2}, \quad \xi = \frac{z}{r_1}, \quad \zeta = \frac{r}{r_1}, \quad M = r_1 B_0 \sqrt{\frac{\sigma}{\eta}}, \quad \text{Re} = \frac{\rho I}{4\pi \eta \sqrt{\sigma\eta}}$$

从方程(1)–(5)中消去 \mathbf{E} , 经过一些运算, 可将方程转化成 $v, \tilde{\phi}, \tilde{\omega}, \tilde{\psi}$ 所满足的方程, 并将其无量纲化后得到如下方程:

$$\frac{\partial g}{\partial T} = \frac{\partial^2 g}{\partial \xi^2} + \frac{\partial^2 g}{\partial \zeta^2} + \frac{1}{\zeta} \frac{\partial g}{\partial \zeta} - \frac{g}{\zeta^2} - \text{Re} \left[\frac{1}{\zeta} \frac{\partial \phi}{\partial \xi} \frac{\partial g}{\partial \zeta} - \frac{1}{\zeta} \frac{\partial \phi}{\partial \zeta} \frac{\partial g}{\partial \xi} + \frac{g}{\zeta^2} \frac{\partial \phi}{\partial \xi} \right] - \frac{M}{\zeta} \frac{\partial \psi}{\partial \xi} \quad (6)$$

$$\frac{\partial \omega}{\partial T} = \frac{\partial^2 \omega}{\partial \xi^2} + \frac{\partial^2 \omega}{\partial \zeta^2} + \frac{1}{\zeta} \frac{\partial \omega}{\partial \zeta} - \frac{\omega}{\zeta^2} - \text{Re} \left[\frac{1}{\zeta} \frac{\partial \phi}{\partial \xi} \frac{\partial \omega}{\partial \zeta} - \frac{1}{\zeta} \frac{\partial \phi}{\partial \zeta} \frac{\partial \omega}{\partial \xi} - \frac{\omega}{\zeta^2} \frac{\partial \phi}{\partial \xi} - \frac{2g}{\zeta} \frac{\partial g}{\partial \xi} \right] - \frac{M^2}{\zeta} \frac{\partial^2 \psi}{\partial \xi^2} \quad (7)$$

$$\frac{\partial^2 \phi}{\partial \xi^2} + \frac{\partial^2 \phi}{\partial \zeta^2} - \frac{1}{\zeta} \frac{\partial \phi}{\partial \zeta} = \zeta \omega \quad (8)$$

$$\frac{\partial^2 \psi}{\partial \xi^2} + \frac{\partial^2 \psi}{\partial \zeta^2} - \frac{1}{\zeta} \frac{\partial \psi}{\partial \zeta} = M \zeta \frac{\partial g}{\partial \xi} \quad (9)$$

式(6),(7)是非线性抛物型方程, 式(8),(9)是椭圆型方程, 这组方程的定解条件为

$$T = 0, \quad g = \omega = \phi = 0 \quad (\text{流体静止}), \quad \psi = \xi/\xi_1 \quad (\text{电流均匀分布}) \quad (10)$$

$$\zeta = 1, \quad r_2/r_1, \quad g = \phi = \omega - \frac{1}{\zeta} \frac{\partial^2 \phi}{\partial \zeta^2} = 0 \quad (\text{速度无滑移条件}),$$

$$\partial \phi / \partial \zeta = 0 \quad (\text{理想导电电极面}) \quad (11)$$

$$\xi = \xi_1 = a/r_1, \quad g = \phi = \omega - \frac{1}{\zeta} \frac{\partial^2 \phi}{\partial \xi^2} = 0 \quad (\text{速度无滑移}),$$

$$\psi = 1 \quad (\text{理想绝缘壁条件}) \quad (12)$$

$$\xi = 0, \quad \phi = \psi = \omega = \partial g / \partial \xi = 0 \quad (\text{对称条件}) \quad (13)$$

因为对称性, 故只对 $0 \leq \xi \leq \xi_1, 1 \leq \zeta \leq r_2/r_1$ 区域求解。以上方程组和定解条件中, 除截面的几何参数外, 只有两个独立的无量纲参数——哈特曼数 M 和雷诺数 Re , 它们和截面的几何参数一起决定了这个问题解的性质。

首先计算了最简单的一种情况, 即只有环向流动没有二次流动的定常流动的解, 它是大哈特曼数, 小雷诺数的定常流动的近似解。取正方形截面 $(2a/(r_2 - r_1)) = 1, 2r_1 = r_2$, 把 $\phi = \omega = 0, \partial/\partial t = 0$ 代入方程组(6)–(9)和定解条件(10)–(13), 得到 g, ψ 的两个椭圆型方程和混合边界条件, 用中心差分将它们离散化, 再用超松弛迭代法求解, 取步长 $\Delta \xi = \Delta \zeta = 1/16$, 松弛因子为 1.5, 参数 $M = 5, 10, 15$ 计算结果与胡文瑞^[3]的级数解一致。图 2 为计算的环向速度径向分布随哈特曼数 M 的变化曲线。

而后, 考虑二次流动, 根据方程和定解条件(6)–(13), 以 $T = 0$ 为起点, 对时间积

分, 计算非定常起动过程, 到 g, ω, ϕ, ψ 各量对时间 T 稳定后, 求得了定常流动的解。采用中心差分, 正方形网格, 步长 $\Delta\xi = \Delta\zeta = 1/16$, 将方程组及定解条件(6)–(13)对空间离散化, $g_{i,j}, \omega_{i,j}, \phi_{i,j}, \psi_{i,j}$ 分别表示 g, ω, ϕ, ψ 在空间节点上之值, ω, ϕ 的边值离散化时, 利用 ω, ϕ 及 ψ 在边界处的泰勒展开式, ω 的展式取至第二项, ϕ 和 ψ 取至第四项, 这样其截断误差与中心差分截断误差一致。

对显含 T 的方程 (6), (7), 在其对空间离散化后, 用变步长龙盖-库塔法对时间积分, 求得 $g_{i,j}^{(k)}, \omega_{i,j}^{(k)}$, k 表示积分的步号。调整步长, 使全步长与半步长计算的 $g_{i,j}, \omega_{i,j}$ 值的相对误差小于 5×10^{-4} 。在对 T 积分的每一步上, 用超松弛迭代法解椭圆型方程(8)和(9), 确定 $\phi_{i,j}^{(k)}$ 和 $\psi_{i,j}^{(k)}$ 。迭代的相对误差小于 5×10^{-4} 。当第 $k+1$ 步积分得到的 $g_{i,j}^{(k+1)}, \omega_{i,j}^{(k+1)}$ 与第 k 步得到的 $g_{i,j}^{(k)}, \omega_{i,j}^{(k)}$ 的相对误差小于 5×10^{-4} 时, 积分终止。 $g_{i,j}^{(k+1)}, \omega_{i,j}^{(k+1)}, \phi_{i,j}^{(k+1)}, \psi_{i,j}^{(k+1)}$, 就是有限长环管中磁流体力学定常流动的解。非定常起动过程所需的无量纲时间 T_0 大约为 0.1, 若 $\rho = 10^{-4} \text{ g/cm}^3$, $r_1 = 5 \text{ cm}$, $\eta = 10^{-4} \text{ g/s}$ 则起动过程的特征时间 $t_0 = (\rho r_1^2 / \eta) T_0 = 2.5 \text{ s}$ 。这个计算过程对时间步长敏感, 要不断调整步长, 否则得不到稳定的解。

选择以下几组参数进行了计算:

$$1. M = 15, Re = 50 \quad 2. M = 15, Re = 500 \quad 3. M = 10, Re = 50$$

$$4. M = 10, Re = 500 \quad 5. M = 5, Re = 500 \quad 6. M = 5, Re = 1000$$

仅对正方形截面计算的定常流动结果绘成曲线图 3—5, 以便对两个主要参数哈特曼数 M 和雷诺数 Re 的作用进行讨论, 而截面的几何参数的影响是比较直观的, 讨论从略。图 3 中实线表示 $r/r_1 = 1.44$ 处, $Re = 500, 1000, M = 5$ 时的主流速度的轴向分布曲线, 虚线表示无二次流时相应的曲线。图 4 为 mainstream 速度径向分布曲线。图 5 给出了 $M = 5, Re = 500$ 时二次流流线分布曲线, 箭头指示二次流方向。在对称平面另一侧也有同样的流线形状。下面讨论轴向边界效应产生的二次流对主流速度的影响:

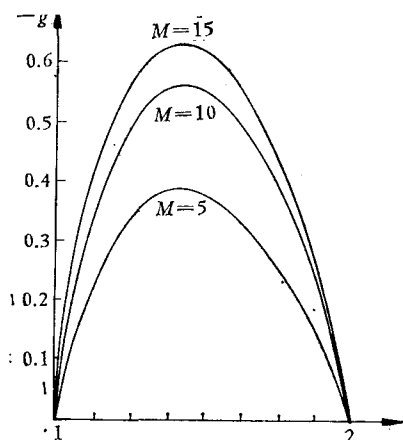


图 2 无二次流时主流速度径向分布 ($Z = 0$)

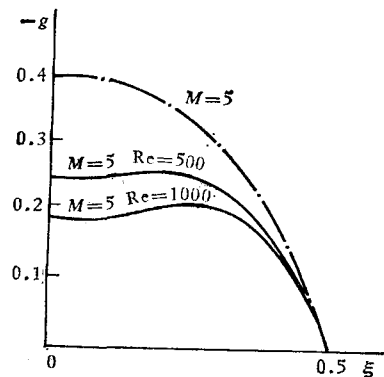


图 3 主流速度轴向分布 ($\xi = 1.44$)

1. 二次流改变了主流速度的轴向分布和径向分布。二次流使主流速度轴向梯度减小, 轴向分布变得平坦如图 3 所示, 随着 Re 的增大, 主流速度沿轴向变化越加缓慢, 随着 M 的

增大,主流速度轴向分布曲线变陡. 二次流也使主流速度沿径化变化缓慢,同时径向分布的峰值向外电极附近移动(图4). 动量方程(6)是磁力、粘性力和二次流惯性力三者的平衡,磁力是推动力,粘性力是阻力. 二次流惯性力在外电极附近起推力作用,在内电极附近则起阻力作用,结果主流速度峰值向外移动. 比较图4中几条曲线看到,随着Re的增大和M的减小,主流速度径向分布变得平坦,且峰值更靠近外电极.

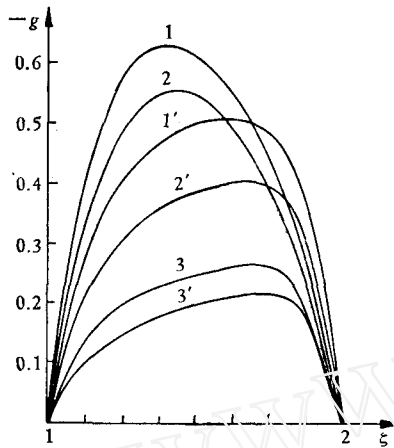


图4 主流速度径向分布($Z=0$)

1: $M=15$, $Re=50$ 1': $M=15$, $Re=500$
 2: $M=10$, $Re=50$ 2': $M=10$, $Re=500$
 3: $M=5$, $Re=500$ 3': $M=5$, $Re=1000$

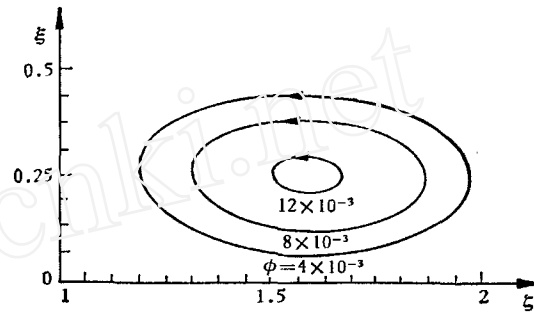


图5 二次流流线分布

2. 二次流使主流速度降低,例如 $M=5$, $Re=500$ 时, $Z=0$ 平面上,二次流速度是主流最大速度的十分之几,主流最大速度减小 $1/3$ 左右(比较图2和4中的曲线3). 在这种情况下不能忽略二次流的作用. 随着M的增大和Re的减小,二次流大大地减弱了,对主流的影响随之减弱,例如在 $Z=0$ 平面上, $M=10$, $Re=50$ 时,二次流最大速度为主流速度的百分之一,主流速度分布曲线只在峰值附近稍有降低,当 $M=15$, $Re=50$ 时,二次流速度是主流的千分之一,主流速度分布曲线与无二次流时相应的曲线重合,在这种大M和小Re的情况下可以忽略二次流对主流的影响. Baylis^[7] 定性给出大M条件下忽略二次流的条件为 $16 \frac{a^2 Re^2}{R^2 M^4} \ll 1$, 当 $M=15$, $Re=50$ 时, $16 \frac{a^2 Re^2}{R^2 M^4} = 0.087$, 我们的结果与 Baylis 结果一致.

胡文瑞同志给予很多指导和帮助,在此表示感谢.

参 考 文 献

- [1] Lewellen, W. S., *Phys. Fluid*, 5, 12 (1962), 1663.
- [2] Kessey, K. O., *AIAA J.*, 2, 5 (1964), 864.
- [3] 胡文瑞, 力学学报, 1(1979), 27.
- [4] Ганницкий, А. И., Дробышевский, Э. М., Розов, С. И., *Ж. Т. Ф.*, 38, 12 (1968), 2070.
- [5] Ганницкий, А. И., Чектерев, И. Б., *Ж. Т. Ф.*, 41, 1(1971), 207.
- [6] Дорфман, Л. А., Романенко, Ю. Б., *М. Ж. Г.*, 5 (1966), 53.
- [7] Baylis, J. A., Hunt, J. C. R., *J. Fluid Mech.*, 48, 3 (1971), 423.

MAGNETOHYDRODYNAMIC FLOW IN AN ANNULAR CHANNEL OF FINITE LENGTH

Rong Sheng

(Institute of Mechanics, Academia Sinica)

www.cnki.net